

اثر حامل‌های مالتودکسترن و صمغ عربی بر ویژگی‌های فیزیکی شیمیایی و فعالیت آنتی‌اکسیدانی هیدرولیز شده‌های کازئین خشک شده به روش پاششی

زهرا اکبربگلو^{۱*}، آسا کمالی شجاعی^۲، خشاپار سرابندی^۳

- ۱- دانش‌آموخته کارشناسی ارشد گروه علوم و صنایع غذایی، دانشکده کشاورزی، دانشگاه تبریز
- ۲- دانشجوی کارشناسی ارشد گروه علوم و صنایع غذایی، موسسه آموزش عالی غیرانتفاعی آفاق ارومیه
- ۳- دانش‌آموخته دکتری، گروه علوم و صنایع غذایی، دانشکده صنایع غذایی، دانشگاه علوم کشاورزی و منابع طبیعی گرگان

(تاریخ دریافت: ۹۷/۰۹/۱۱ تاریخ پذیرش: ۹۸/۰۴/۲۳)

چکیده

در این مطالعه، هیدرولیز آنزیمی کازئین با استفاده از آنزیم‌های آلکالاز و پانکراتین در شرایط بهینه انجام گرفت. سپس، اثر نوع و ترکیب حامل‌های مالتودکسترن و صمغ عربی بر ویژگی‌های فیزیکی شیمیایی (مقدار رطوبت، فعالیت آبی، دانسیته توده، دانسیته ضربه، حلالیت، جاذب‌الرطوبه‌بودن)، حفظ فعالیت آنتی‌اکسیدانی (مهار رادیکال آزاد ABTS، مهار رادیکال هیدرولیزکسیل، قدرت احیاء‌کنندگی، شلاته‌کنندگی یون آهن و مس)، مورفوولوژی و میانگین اندازه ذرات هیدرولیز شده‌های کازئین خشک شده به روش پاششی ارزیابی شدند. نتایج نشان دادند که مقدار رطوبت، فعالیت آبی، دانسیته توده، دانسیته ضربه و حلالیت به‌شكل یکسانی تحت تاثیر نوع و ترکیب حامل قرار دارند ($P < 0.05$). مقدار جاذب‌الرطوبه‌بودن هیدرولیز شده‌های کازئین پس از فرآیند ریزپوشانی به‌شكل قابل ملاحظه‌ای کاهش یافت. فعالیت آنتی‌اکسیدانی هیدرولیز شده‌ها بسته به نوع آنزیم متفاوت بود. به‌طور مثال، مهار رادیکال‌های آزاد ABTS و هیدرولیز شده‌های پانکراتین بیشتر از آلکالاز بودند ($P < 0.05$). ترکیب مالتودکسترن و صمغ عربی بهترین اثر را در حفظ فعالیت مهار رادیکال‌های آزاد ABTS (۹۲/۷۲-۹۴/۹۳٪)، DPPH (۹۸/۴۷-۹۸/۹۴٪)، مهار رادیکال هیدرولیزکسیل (۸۸/۵۹-۹۴/۹۵٪)، قدرت احیاء‌کنندگی (۹۸/۶۵٪) و شلاته‌کنندگی یون‌های آهن (۹۸/۳۸-۹۸/۶۱٪) و مس (۸۲/۸۶-۹۷/۱۲٪) نشان داد. تصاویر میکروسکوپ الکترونی نشان‌دهنده وجود ذراتی با اندازه‌های مختلف و چروکیده بودند. نمونه‌های تولید شده با صمغ عربی، میانگین اندازه ذرات بزرگتری نسبت به مالتودکسترن دارا بودند. در نهایت، نتایج حاصل از این مطالعه نشان‌دهنده کارایی فرآیند خشک-کردن پاششی بر تولید هیدرولیز شده‌های ریزپوشانی شده با ویژگی‌های فیزیکی، پایداری و آنتی‌اکسیدانی مناسب بود.

کلید واژگان: خشک کردن پاششی، ریزپوشانی، هیدرولیز شده‌های کازئینی، فعالیت آنتی‌اکسیدانی

* مسئول مکاتبات: zahra.akbarbaglu@yahoo.com

جنبهای مختلفی از ریزپوشانی پپتیدهای زیست فعال غذایی مورد بررسی قرار گرفته است. بدین شکل که تحقیقات مختلفی، فرآیند ریزپوشانی پپتیدهای حاصل از هیدرولیزشده‌های پروتئینی را در میکرو و نانوحامل‌ها مورد مطالعه قرار دادند [۸]. در بین روش‌های مختلف ریزپوشانی، خشک کردن پاششی رایج‌ترین روش تولید ترکیبات مایع به شکل پودر است [۹]. پژوهشگران مختلفی، اثر فرآیند خشک کردن پاششی بر ویژگی‌های فیزیکی و پوشاندن تلخی هیدرولیزشده‌های پروتئین آب پنیر [۱۰و۷]، کازئین [۱۲و۱۱] و گوشت جوجه [۱۳] بررسی کردند. در یک پژوهش نیز اثر استفاده از مالتودکسترن بر ویژگی‌های فیزیکی شیمیایی و آنتی‌اکسیدانی کازئین هیدرولیزشده مورد بررسی قرار گرفته است [۱۴]. با این حال تاکنون هیچ تحقیقی در خصوص بررسی اثر و قابلیت استفاده از حامل‌های مختلف و ترکیب آن‌ها در فرآیند خشک کردن پاششی بهویژه بر حفظ شاخص‌های مختلف آنتی‌اکسیدانی انجام نشده است.

در بین حامل‌های مختلف، ویژگی‌هایی مانند قیمت مناسب، خوارکی بودن، حلالیت بالا، ویسکوزیته پائین، موجب شده است تا مالتودکسترن و صمغ عربی به شکل گسترهای در خشک کردن پاششی انواع محصولات چسبنده و ترکیبات آنتی‌اکسیدان مورد استفاده قرار گیرند [۱۵و۱۶]. لذا با در نظر گرفتن موارد فوق، هدف از این مطالعه بررسی کارایی استفاده از مالتودکسترن، صمغ عربی و ترکیب این دو حامل بر ویژگی‌های فیزیکی، عملکردی، حفظ پایداری در طول نگهداری (جادب‌الاطوبه‌بودن)، حفظ ویژگی‌های آنتی‌اکسیدانی در طول فرآیند خشک کردن پاششی و ریزساختار پودرهای تولید شده حاوی هیدرولیزشده‌های کازئینی با آلکالاز و پانکراتین بود.

۲- مواد و روش‌ها

۱-۲- مواد

کازئین (۹۵٪ پروتئین)، پانکراتین (P1750، ۴ × USP)، آlkالاز (۲.۴ L.TCA)، تری‌کلرواستیک اسید² (TCA)، کوماسی بلو (G250)، DPPH³، ABTS⁴، پتاسیم پرسولفات،

۱- مقدمه

امروزه با توجه به بروز بیماری‌های مختلف مانند اختلالات قلبی-عروقی، تحقیقات متعددی در خصوص استفاده و تولید ترکیبات سلامتی‌بخش از منابع طبیعی در حال انجام است. مواد زیست فعال به دو دسته مولکول‌ها (ویتامین‌ها، اسیدهای چرب، کاروتینوئیدها، استرول‌های گیاهی، پلی‌فنول‌ها، اسیدهای آمینه، پپتید و پروتئین‌ها) و سلول‌های زنده (پروبیوتیک‌ها) تقسیم می‌شوند [۱]. در بین انواع ترکیبات زیست‌فعال، مزایای بالای سلامتی بخش پروتئین‌های هیدرولیز شده موجب تا پژوهشگران این ترکیبات را به عنوان یک ماده غذا-دارو و به شکل یک افزودنی مفید در فرمولاسیون‌های مختلف غذایی در نظر گیرند [۲]. این ترکیبات غنی از پپتیدهای با وزن مولکولی پائین بوده که از هضم پذیری بالا و سمیت و آلرژی‌زاوی اندکی برخوردارند. از سایر خواص بیولوژیکی آن‌هامی‌توان به عملکرد آنتی‌اکسیدانی، آنتی‌بیوتیک، کاهش دهنده فشار خون، بی‌خطر بودن، ارزش تغذیه‌ای و عملکردی^۱ آن‌ها اشاره نمود [۳و۴].

پروتئین‌های شیر به‌طور گسترهای به عنوان منبع ترکیبات مغذی، عملگرا و غنی از پپتیدهای زیست فعال شناخته و استفاده می‌شوند. میسل کازئین متشكل از as1، as2، بتا و کاپا کازئین می‌باشد و نسبت این ۴ نوع در شیر پستانداران متفاوت است [۵]. تحقیقات متعدد انجام گرفته نشان‌دهنده اثر کیفی قابل توجه شرایط هضم پروتئین‌های اولیه شیر بر بازده فیزیولوژیکی پپتیدهای زیست فعال، فعالیت آنتی‌اکسیدانی، کاهنده‌گی فشارخون و فعالیت‌های ضد میکروبی آن‌ها است [۶]. اما معایی مانند جاذب‌الاطوبه‌بودن بسیار زیاد (که منجر به ناپایداری فیزیکی در طول نگهداری، بروز واکنش‌های شیمیایی و فساد میکروبی و در نهایت از دست رفتن ویژگی‌های سلامتی‌بخش می‌شوند) و همچنین طعم تلخ این ترکیبات که غنی‌سازی محصولات غذایی را دشوار می‌سازد موجب شده که قابلیت استفاده از این ترکیبات در فرمولاسیون‌های غذایی مختلف به‌شكل قابل ملاحظه‌ای تحت تأثیر قرار گیرد [۷].

یکی از راه‌های کارآمد و اقتصادی برای کاهش این معایب، ریزپوشانی ترکیبات زیست‌فعال حاصل از هیدرولیز آنزیمی پروتئین‌هاست. این فرآیند همچنین، روشی مناسب برای رسانش پپتیدهای زیست‌فعال غذایی است. در سالیان اخیر،

2. Trichloroacetic acid

3. 1,1-Diphenyl-2-picrylhydrazyl

4. 2,2'-azino-bis (3-ethylbenzothiazoline-6-sulfonic acid)

1. Functional

۴-۲- فرآیند ریزپوشانی

در این تحقیق از یک خشککن پاششی در مقیاس آزمایشگاهی (درسا، ایران) استفاده گردید. محفظه خشک کن به صورت استوانه‌ای با قسمت تحتانی مخروطی شکل با قطر قسمت استوانه‌ای ۲۸ سانتی‌متر و ارتفاع کل محفظه ۸۰ سانتی‌متر بود. دستگاه مجهز به یک پمپ تغذیه حجمی پریستالیک با دبی تغذیه متغیر با فشار ۱ بار برای ارسال خوراک به نازل است. فرآیند پاشش توسط اتمایزر فشاری با قطر ۲ cm و قابلیت عمل توسط کمپرسور هوا، صورت گرفت. با استفاده از آزمون و خطاهای اولیه انجام شده، از هوای ورودی با دمای 130°C و بصورت هم جهت با خوراک‌های از قبل تهیه شده برای خشک کردن استفاده شد. برای همه تیمارها، دبی خوراک ورودی ۳ میلی‌لیتر در دقیقه و دمای هوای خروجی در فرآیند 75°C ثابت نگهداشته شدند. پودرهای جمع شده در محفظه شیشه‌ای تا رسیدن به دمای ثابت و ممانعت از تغییرات رطوبت در دسیکاتور نگهداری شدند. سپس محصولات ریزپوشانی شده در شیشه‌های تیره و دور از نور تا زمان انجام آزمایشات نگهداری گردید [۱۴].

۵- ارزیابی ویژگی‌های فیزیکی

۵-۱- مقدار رطوبت و فعالیت آبی

ارزیابی ویژگی‌های فیزیکی به اختصار و به شکل زیر انجام گرفت. در این تحقیق، تعیین مقدار رطوبت پس از قرار دادن ۱ گرم پودر از هر نمونه در آون با دمای 0°C به مدت ۳ ساعت و محاسبه اختلاف وزن انجام شد [۱۶]. مقدار فعالیت آبی با استفاده از دستگاه تعیین فعالیت آبی (Decagon Devices, USA) و در دمای محیط تعیین شد.

۵-۲- دانسیته توده و دانسیته ضربه

مقادیر دانسیته توده ذرات پس از ریختن ۱ گرم پودر در استوانه ۱۰ ml و محاسبه نسبت وزن به حجم اشغال شده در استوانه مدرج، به صورت (گرم بر میلی‌لیتر) محاسبه گردید و دانسیته ضربه پس از وارد کردن ضربات آهسته به جداره استوانه به مدت ۱ دقیقه و تعیین این نسبت به دست آمدند [۱۷].

۵-۳- انحلال پذیری

جهت تعیین انحلال پذیری ۱ گرم پودر به دقت به ۱۰۰ میلی لیتر آب مقطر تحت شرایط هم زدن با یک همزن مغناطیسی در

ترولوکس، پتانسیم فری‌سیانید، فریک کلراید، آلفا-داکسی ریبوز، دی‌کلرید آهن، فروزن، سولفات مس، پیریدین، پیروکاتکول ویولت، اسکوربیک اسید و تیوباربیتوریک اسید^۱ (TBA) از سیگما خریداری شدند. مالتودکسترین (پوران پودر سپاهان، اصفهان)، آلفا داکسی ریبوز (فلوکا، سوئد) و صمغ عربی از (KBR، هند) تهیه شدند.

۲-۲- هیدرولیز آنزیمی کازئین

فرآیند هیدرولیز آنزیمی کازئین در شرایط بهینه عملکرد هر آنزیم (آلکالاز و پانکراتین) انجام گرفت [۱۴]. برای فرآیند هیدرولیز آنزیمی، کازئین ($N=95\%$) در نسبت (W/V) ۰/۵ به ترتیب در بافر فسفات ۰/۲ مولار برای آlkalaz (pH ۸, ۵۰ °C) و پانکراتین (pH ۷.۴, ۳۷ °C) حل شد. فرآیند هم‌زدن به مدت ۴۰ دقیقه برای هیدراته کردن کامل کازئین انجام شد. سپس آنزیم‌ها در نسبت (W/W) ۲/۵ سویسترا به محیط افزوده شدند. فرآیند هیدرولیز بر اساس تحقیقات پیشین برای هر آنزیم به مدت ۱۲۰ دقیقه انجام گرفت. پس از اتمام فرآیند هیدرولیز، برای غیرفعال کردن آنزیم، محیط واکنش در حمام آب 95°C به مدت ۱۵ دقیقه قرار داده شد. دیسپرسیون حاصل با استفاده از آب سرد (0°C) تا دمای محیط خنک گردید. سپس هیدرولیز شده کازئین در ۷۰۰۰ g به مدت ۱۰ دقیقه در دمای محیط سانتریفیوژ شد. محلول رویی جدا و با خشک کن انجام‌داده شد. (Christ، آلمان) در دمای 20°C و فشار ۱/۰ میلی‌بار، لیوفیلیزه و تا زمان استفاده در دمای 0°C نگهداری گردید [۱۴].

۳-۲- تهیه محلول خوراک

برای تهیه محلول خوراک، هر یک از هیدرولیز شده‌های آنزیمی در نسبت ۴۰ به ۶۰ با ماده دیواره (صمغ عربی، مالتودکسترین و یا مخلوط یکسانی از این دو) در آب مقطر حل شدند. بدین منظور ۱/۲ گرم از هیدرولیز شده با ۱/۸ گرم از هر یک یا ترکیب حامل‌ها در ۲۰ میلی‌لیتر آب مقطر و به مدت ۳۰ دقیقه به طور کامل حل شدند. محلول خوراک برای هیدراته شدن کامل ترکیبات هسته و دیواره به مدت ۳ ساعت در دمای محیط نگهداری شد [۱۴].

diammonium salt
1. Thiobarbituric acid

درصد مهار رادیکال ABTS⁺ نمونه‌ها بر اساس معادله زیر محاسبه گردید. همچنین، فعالیت مهار رادیکال ABTS⁺ بر اساس منحنی استاندارد ترولوکس به شکل ظرفیت ضداکسایشی معادل ترولوکس (TEAC, mM) (Beyzaie et al., 2005) بیان گردید.

$$\text{AA (\%)} = \left[\frac{\text{A}_{\text{blank}} - \text{A}_{\text{sample}}}{\text{A}_{\text{blank}}} \right] \times 100 \quad (1)$$

در اینجا، A_{blank} (جذب نمونه شاهد) و A_{sample} (جذب نمونه هیدرولیز شده) هستند.

۲-۶-۲-۱- مهار رادیکال آئیونی DPPH

درصد مهار رادیکال آزاد DPPH با استفاده از روش وو و همکاران (2001) با کمی اصلاحات تعیین گردید. ابتدا، ۱/۵ml از هر نمونه با ۱/۵ml از محلول اتانولی DPPH (۰/۱۵mM) مخلوط و بمدت ۲۰ ثانیه ورتكس شد. سپس، مخلوط حاصل در تاریکی نگهداری شد. جذب محلول سوپراناتانت در طول موج ۵۱۷nm خوانده شد. درصد مهار رادیکال DPPH مشابه معادله ۱ تعیین شد.

۲-۶-۲-۲- مهار رادیکال هیدروکسیل

فعالیت مهار رادیکال هیدروکسیل با استفاده از اکسیداسیون ۲-دکسی ریبوز بر طبق روش کیم و مینامیکاوا (2002) تعیین شد. برای این آزمون، ۰/۰۲ml از محلول ۱۰mM FeSO₄- (۰/۰۵ml EDTA)، ۰/۰۵ml آلفا-دکسی ریبوز، ۰/۰۲ml نمونه هیدرولیز شده، ۰/۰۹ml سدیم فسفات بافر pH 7.4 و ۰/۰۲ml پراکسید هیدروژن (۰/۰۱mM) با هم مخلوط شدند. مخلوط در ۳۷ °C برای ۱h انکوبه شد. سپس، ۱ml تری کلرواستیک اسید (TCA) ۰/۰۲ml درصد و ۱ml تیوباریتوریک ۰/۰۲ml در قرار گرفت. درین قرار، مخلوط ۱۵min برای درصد برای توقف واکنش به مخلوط افزوده شد. مخلوط سپس جذب آن در ۵۳۲nm با اسپکتروفوتومتر اندازه‌گیری شد. حجم یکسانی آب مقطار به جای نمونه برای تهیه شاهد استفاده گردید.

۲-۶-۲-۳- قدرت احیاء‌کنندگی

برای تعیین قدرت احیاء‌کنندگی نمونه‌های هیدرولیز شده، ۰/۰۵ml نمونه حل شده با ۰/۰۵ml بافر فسفات pH 6.6 و ۰/۰۵ml پتاسیم فری-سیانید (W/V)٪۱ مخلوط شد. مخلوط در دمای ۵۰ °C برای ۲۰min دقيقه

۷۰۰rpm محلول حاصل در ۳۰۰۰×g برای ۴ دقیقه سانتریفوژ شد. حجم ۲۵ میلی لیتر از محلول فوقانی جدا و به یک پتری دیش که از قبل وزن گردیده متقل و در آون ۱۰۵°C به مدت ۵ ساعت خشک گردید. وزن ماده جامد خشک شده نسبت به پودر اولیه بر حسب درصد جهت تعیین مقدار انحلال پذیری در آب به کار رفت [18].

۲-۶-۴- جاذب‌الرطوبه بودن

ارزیابی جاذب‌الرطوبه بودن پس از قرار دادن ۱ گرم از هر نمونه در دیسکاتور حاوی محلول اشیاع کلرید سدیم (RH = ۷۵٪) به مدت ۷ روز و محاسبه نسبت افزایش وزن نمونه بر حسب درصد (گرم آب جذب شده توسط ۱۰۰ گرم پودر) انجام گرفت [19].

۲-۶-۵- ویژگی‌های آنتی‌اکسیدانی

برای ارزیابی فعالیت آنتی‌اکسیدانی هیدرولیز شده‌های آزاد و ریزپوشانی شده به ترتیب مقدار ۰/۰۵ و ۰/۰۲ گرم از هر نمونه را در ۵ میلی لیتر آب مقطار حل نموده به شکلی که غاظت هیدرولیز شده در محلول mg/ml ۴ بدست آمد. تنها برای آزمون ABTS از غلظت ۴ mg/ml پروتئین استفاده شد. سپس از محلول‌های فوق برای تعیین هر یک از ویژگی‌های آنتی‌اکسیدانی استفاده گردید [14].

۲-۶-۱- مهار رادیکال کاتیونی ABTS⁺

فعالیت مهار رادیکال ABTS پودرهای کازائین هیدرولیز شده با استفاده از روش تشریح شده توسط یو و همکاران [20] با کمی اصلاحات تعیین گردید. محلول رادیکال ABTS⁺ با ترکیب نسبت حجمی یکسانی از ABTS در غلظت ۷۰mM ۰/۰۴۵mM ۰/۰۲پتاسیم پرسولفات تهیه گردید. مخلوط در تاریکی و در دمای محیط به مدت ۱۶-۱۲h قبل از مصرف قرار داده شد. در این مدت، اکسیداسیون و تولید رادیکال ABTS به وسیله پتاسیم پرسولفات انجام گرفت. قبل از آزمون، محلول ABTS⁺ با استفاده از ۰/۰۲M pH 7.4 PBS تا جذب ۰/۰۷±۰/۰۲ در ۷۳۴nm ریقیق شد. سپس ۰/۰۴۰μl از هر نمونه (با غلظت L/mL ۴mg) به ۴ml محلول ABTS⁺ افزوده شد. مخلوط برای ۳۰ ثانیه به شدت ورتكس و به مدت ۱min در تاریکی قرار داده شد. جذب محلول نهایی در ۷۳۴nm اندازه‌گیری شد. منحنی استاندارد با واکنش ۱μl ۴۰ ترولوکس (۱۰۰۰ μM، ۵۰۰، ۷۵۰، ۱۰۰۰ μM) در ۷۳۴nm

۷-۲- ارزیابی ریزساختار

ساختار ذرات پودرها با استفاده از میکروسکوپ الکترونی روبشی (هیتاچی، مدل PS-230، ژاپن) مورد ارزیابی قرار گرفت. نمونه‌ها به طور مجزا با استفاده از نوار چسب‌های دوسویه بر صفحه‌های آلومینیومی قرار گرفتند. سپس عمل روکش‌دهی ذرات با استفاده از لایه نازکی از طلا انجام شد. در نهایت هر نمونه پوشش‌دهی شده به میکروسکوپ منتقل و مشاهده ساختار سطحی ذرات در ولتاژ 15 kV صورت گرفت. همچنین میانگین اندازه ذرات (میانگین $200\text{ }\mu\text{m}$) با تصاویر میکروسکوپ الکترونی و با استفاده از نرم افزار J Image تعیین گردید.

۸-۲- تجزیه و تحلیل آماری

اثر هر یک از تیمارهای مورد مطالعه با کاربرد آنالیز واریانس یک طرفه و با استفاده از نرم افزار SPSS نسخه ۱۹ مورد ارزیابی قرار گرفت تا فاکتورهای مؤثر از لحاظ آماری شناسایی شوند. کلیه آزمون‌ها در 3 تکرار و مقایسه میانگین‌ها با استفاده از آزمون چند دامنه‌ای دانکن جهت بررسی معنی‌دار بودن اثر متغیرها در ($P < 0.05$) انجام گردید.

۳- نتایج و بحث

۱-۳- مقدار رطوبت و فعالیت آبی

جدول ۱، اثر نوع و ترکیب حامل‌های مالتودکسترنین بر مقدار رطوبت و فعالیت آبی هیدرولیزشده‌های کازئینی ریزپوشانی شده را نشان می‌دهد. مقدار رطوبت پودرهای خشک شده به روش پاششی بین $3/19-4/27$ درصد متغیر بود. بدین شکل که پودرهای تولید شده با مالتودکسترنین کمترین مقدار رطوبت را داشتند. اما مقدار این شاخص با جایگزینی نیمی از مالتودکسترنین با صمغ عربی افزایش یافت ($P < 0.05$). همچنین تفاوتی بین مقدار رطوبت پودرهای حاصل از هیدرولیزشده کازئین با آلکالاز و پانکراتین وجود نداشت. مشابه نتایج حاصل از ارزیابی مقدار رطوبت، فعالیت آبی پودرها نیز تحت تاثیر نوع و ترکیب حامل مورد استفاده قرار

انکوبه شد. سپس، $5\text{ ml}/0\text{ مولول}$ تریکلرو استیک اسید $10\text{ min}/2500\text{ rpm}$ در مخلوط اضافه و به مدت 10 min در سانتریفیوز شد. در نهایت، 1 ml سوپرناکتانت با 1 ml آب مقطر و $2\text{ ml}/0\text{ فریک کلراید (W/V)}/10\%$ مخلوط گردید. جذب نمونه در 700 nm پس از 10 min 700 nm نگهداری مخلوط در دمای محیط، خوانده شد. حجم یکسانی آب مقطر به جای نمونه برای تهیه نمونه کنترل استفاده شد. افزایش جذب مخلوط واکنش (عدد جذب نمونه در طول موج 700 nm که توسط اسپکتروفوتومتر قرائت می‌گردد) نشان دهنده افزایش قدرت احیاء‌کنندگی است [۲۳].

۶-۵- شلاته‌کنندگی یون آهن

فعالیت شلاته‌کنندگی یون آهن بر طبق روش جامدار و همکاران [۲۴] اندازه‌گیری شد. ابتدا، 1 ml نمونه حل شده در آب مقطر با $0.05\text{ ml}/0\text{ مولول}$ دی کلرید آهن (2 mM) و $0.1\text{ ml}/85\text{ ml}$ آب دوبار تقطیر مخلوط شد. سپس، $0.1\text{ ml}/0\text{ مولول}$ فروزنین (5 mM) افزوده و مخلوط به شدت هم‌زده شد. جذب 562 nm پس از 10 min 10 min نگهداری مخلوط در دمای محیط در 562 nm خوانده شد. آب دوبار تقطیر به عنوان نمونه شاهد مورد استفاده قرار گرفت. فعالیت شلاته‌کنندگی نمونه‌ها با استفاده از معادله ۱ محاسبه شد.

۶-۶-۲- شلاته‌کنندگی یون مس

فعالیت شلاته‌کنندگی یون مس پروتئین‌های هیدرولیز شده با استفاده از روش کانگ و زیانگ [۲۵] اندازه‌گیری شد. در ابتدا، $1\text{ ml}/2\text{ mM}$ سولفات مس با 1 ml کازئین هیدرولیز شده در فالکون $15\text{ ml}/5\text{ min}$ در دمای اتاق انکوبه شد. سپس، $1\text{ ml}/0\text{ مولول}$ تری کلرواستیک اسید $113\text{ min}/2500\text{ rpm}$ درصد افزوده و نمونه‌ها در $2500\text{ rpm}/10\text{ min}$ سانتریفیوز شدند. پس از آن، 2 ml از سوپرناکتانت به $1\text{ ml}/10\text{٪}$ پیریدین و $20\mu\text{l}/1\text{ ml}$ پیروکاتکول ویولت افزوده و مخلوط ورتكس و برای 5 min در دمای اتاق انکوبه شد. جذب نمونه‌ها در 632 nm خوانده و فعالیت شلاته‌کنندگی ABTS یون مس با استفاده از معادله تشریح شده برای به دست آمد.

به طور مثال، فاوارو-ترینیداد و همکاران [۱۱] گزارش کردند که مقدار رطوبت کازئین هیدرولیز شده تحت تاثیر نوع و ترکیب ماده دیواره قرار گرفت و از ۰/۴۷۳٪ در نمونه ریزپوشانی نشده تا ۰/۶۷۸٪ در نوع ریزپوشانی شده متغیر بود. اما فرآیند ریزپوشانی اثری بر فعالیت آبی پودرها نشان نداد و مقدار این شاخص بین ۰/۲۵ تا ۰/۲۷٪ متغیر بود. اگرچه در تحقیق دیگری، بین مقدار رطوبت انواع هیدرولیز شده‌های کازئینی ریزپوشانی شده با مالتودکسترنین تفاوتی گزارش نشد [۱۴]. در تحقیق دیگری، اثر نوع حامل (مالتودکسترنین و صمغ عربی) به عنوان حامل در ۳ غلظت) بر ویژگی‌های فیزیکوشیمیایی هیدرولیز شده گوشت جوجه خشک شده به روش پاششی بررسی گردید. نتایج نشان دادند که افزایش غلظت حامل موجب کاهش مقدار رطوبت پودرها می‌گردد [۲۸].

Table 1 Effect of carrier type and combination on the physical properties of spray-dried casein hydrolysates

Enzymatic hydrolyzed	Carrier type	Moisture content (%)	Water activity	Bulk density (g/mL)	Tapped density (g/mL)
Casein	-	2.22±0.11d	0.319±0.01a	0.717±0.01a	0.868±0.02a
Pancreatin120	MD	3.23±0.19c	0.264±0.01d	0.250±0.01c	0.329±0.02cd
	MD-GA	3.71±0.17b	0.289±0.01c	0.222±0.01d	0.299±0.01e
	GA	4.26±0.08a	0.307±0.01b	0.216±0.02d	0.268±0.01f
Alcalase120	MD	3.19±0.21c	0.273±0.01d	0.273±0.01b	0.358±0.01b
	MD-GA	3.82±0.09b	0.291±0.01c	0.251±0.01c	0.333±0.01c
	GA	4.27±0.14a	0.305±0.01b	0.232±0.01cd	0.311±0.01de

Different letters in the same column indicate statistical significant differences ($P < 0.05$).

شده توسط نازل به درون محفظه خشک کن و در نهایت تشکیل ذرات درشت تر می‌شود. همچنین، قابلیت بالاتر صمغ عربی در تشکیل فیلم در اطراف ذرات و محبوس سازی حجم بیشتری هوا به درون ذرات یکی دیگر از عوامل موثر بر تغییر دانسیته است [۲۹].

به طور کلی، دانسیته توده به اندازه، شکل و توزیع اندازه ذرات، رطوبت، ترکیب شیمیایی، میزان هوای محبوس شده در داخل ذره بستگی دارد، که این عوامل به ویژگی‌های خوراک، میزان هوای ورودی، درجه حرارت و زمان خشک کردن، عملیات فرآوری و حمل و نقل بستگی دارد [۳۰]. علاوه بر نوع حامل موثر بر دانسیته توده ذرات، افزایش غلظت حامل نیز موجب کاهش دانسیته توده پودرهای کنسانتره آب پر تقال [۱۷] گردید که علت آن را کاهش تولید ذرات ترمومولاستیک و افزایش

گرفت. مقدار این شاخص در پودرهای خشک شده به روش پاششی بین ۰/۲۶-۰/۳۱٪ متغیر بود. اما با توجه به این نکته که پودرهایی با فعالیت آبی کمتر از ۰/۶٪ از پایداری میکروبی بالایی برخوردارند [۲۶]. بنابراین مقدار رطوبت و فعالیت آبی پودرهای حاوی هیدرولیز شده‌های کازئینی از پایداری میکروبی مناسبی برخوردارند.

مشابه نتایج حاصل از این تحقیق، اثر حامل‌های مختلف بر مقدار رطوبت عصاره چای کوهی خشک شده به روش پاششی بررسی شد. در بین حامل‌ها، صمغ عربی بالاترین و مالتودکسترنین کمترین مقدار رطوبت را از خود نشان دادند. علت آن نیز ظرفیت حفظ آب بالاتر هیدروکلوفیلیدها نسبت به مشتقان نشاسته بیان شد [۲۷]. این یافته‌ها حاکی از اهمیت و اثر نوع، ترکیب و غلظت حامل بر مقدار این شاخص‌ها دارد.

۲-۳- دانسیته توده و دانسیته ضربه

دلایل اقتصادی و عملگرایی مانند شرایط بسته‌بندی، حمل و نقل، نگهداری، کاربرد در فرمولاسیون‌ها، موجب افزایش اهمیت دانسیته به عنوان یک ویژگی فیزیکی مهم می‌گردد [۱۶]. مقدار این دو شاخص در کلیه پودرهای هیدرولیز شده خشک شده به روش پاششی به ترتیب بین ۰/۲۱۶-۰/۲۷۳ و ۰/۲۶۸-۰/۳۵۸ g/mL بسته به نوع حامل مورد استفاده متغیر بود (جدول ۱). نتایج نشان دادند که پودرهای تولید شده با صمغ عربی از دانسیته کمتری نسبت به ذرات تولید شده با مالتودکسترنین برخوردارند. علت این یافته‌ها را می‌توان به افزایش بیشتر ویسکوزیته خوراک در صورت استفاده از صمغ عربی نسبت به مالتودکسترنین نسبت داد. افزایش ویسکوزیته منجر به تولید قطرات درشت تر پاشیده

۴- جاذب‌الرطوبه بودن

یکی از اصلی‌ترین مشکلات هیدرولیزشده‌های پروتئینی، جاذب‌الرطوبه بودن بالای این ترکیبات است. در این تحقیق، مقدار جاذب‌الرطوبگی هیدرولیزشده‌های حاصل از فعالیت آنزیم آکالاز و پانکراتین به ترتیب حدود ۳۶٪ و ۳۹٪ بود (جدول ۲). این اختلاف در مقدار این شاخص احتمالاً می‌تواند به‌دلیل تفاوت در ساختار، ترکیب پیشیدها و آزادسازی بیشتر آمینواسیدهای هیدروفیل [۲۰] و هیدروفوب [۲۲] پس از هیدرولیز آنزیمی با پانکراتین و آکالاز باشد. اما مقدار جاذب‌الرطوبه بودن هیدرولیزشده‌ها پس از ریزپوشانی به مقدار قابل توجهی کاهش یافت. در بین حامل‌های مختلف نیز، استفاده از صمغ عربی منجر به کاهش بیشتر مقدار این شاخص در پودر گردید ($P < 0.05$). علت را می‌توان به قابلیت تشکیل فیلم با جاذب‌الرطوبگی پائین از صمغ عربی در اطراف ذرات و همچین‌دمای انتقال شیشه‌ای بالاتر صمغ نسبت به مالتودکسترنین نسبت داد [۳۵].

جادب‌الرطوبگی یکی از مهم‌ترین شاخص‌های تعیین‌کننده قابلیت حفظ، پایداری و زمان نگهداری پودرهای خشک شده به روش پاششی در شرایط نامطلوب بسته‌بندی و نگهداری است. رطوبت تأثیر بسیار منفی بر خواص فیزیکی شیمیابی، جریان‌پذیری و پایداری پودرهای غذایی دارد. به‌طور مثال، جذب آب در پودرهای حاوی روغن‌های فرار، انسان‌ها و ترکیبات حساس کپسوله شده، موجب افزایش شدت و سرعت اکسیداسیون و در نتیجه کاهش عمر ماندگاری این ترکیبات را به همراه خواهد داشت [۱۵]. حامل‌های مختلف از طریق تغییر در ترکیب ذرات، تشکیل یک لایه فیلم یا پوسته با جاذب‌الرطوبه بودن پائین در اطراف ذرات و افزایش دمای انتقال شیشه‌ای موجب کاهش قابلیت جذب رطوبت و تغییرات ثانویه ناشی از آن می‌شوند [۱۶].

یانگ و همکاران [۷] اثر فرآیند ریزپوشانی پروتئین‌های هیدرولیزشده آب پنیر بر ویژگی‌های حسی و کاهش تلخی، همچنین پایداری و جاذب‌الرطوبگی پودرها را بررسی کردند. در آن تحقیق، مقدار جاذب‌الرطوبگی پودرهای آب پنیر هیدرولیزشده آزاد پس از ریزپوشانی با مالتودکسترنین و ترکیب

هوای به دام افتاده درون ذرات در طول اتمیزاسیون تا فرآیند خشک شدن بیان کردند. همچنین، در تحقیق انجام شده توسط کوروزاوا و همکاران [۲۸]، ریزپوشانی هیدرولیزشده گوشت جوجه با ۳ غلظت مالتودکسترنین و صمغ عربی انجام شد. آن‌ها گزارش کردند که دانسیته توده ذرات ریزپوشانی شده با نسبت ۳۰٪ مالتودکسترنین و صمغ عربی از 0.38 g/mL (ذرات بدون حامل) به 0.25 g/mL کاهش یافت.

۳-۳- انحلال‌پذیری

در این تحقیق، اثر حامل‌های مختلف بر حلالیت پودرهای خشک شده به روش پاششی به عنوان یکی از اصلی‌ترین شاخص‌های عملکردی آن‌ها بررسی شد [۳۱]. مقدار این شاخص برای نمونه‌ها بین $90/52-97/28$ درصد متغیر بود (جدول ۲). نتایج نشان دادنکه نوع هیدرولیز شده تاثیری بر حلالیت پودرها ندارد اما نوع حامل به کار رفته به‌طور قابل ملاحظه‌ای مقدار حلالیت را تحت تاثیر قرار می‌دهد. بدین شکل که در بین نمونه‌های تولید شده، تیمارهای حاصل از صمغ عربی کم‌ترین حلالیت را نسبت به مالتودکسترنین از خود نشان دادند ($P < 0.05$). این یافته‌ها حاکی از اثر نوع حامل بر حلالیت محصول نهایی خشک شده است.

علاوه بر نوع حامل، عواملی نظیر اندازه، شکل، ترکیب، ویژگی‌های سطحی، ریزساختار ذره و حضور افزودنیها و ترکیبات نامحلول، نوع و ترکیب ماده اولیه، نوع خوارک (غلظت ماده جامد)، شرایط خشک کردن (دمای مورد استفاده، سرعت جریان هوای ورودی، فشار و دور اتمایزه)، می‌توانند در مقدار حلالیت پودرها بسیار موثر باشند [۳۲]. مشابه یافته‌های این تحقیق، حلالیت پودرهای عصاره آبی چای کوهی با مالتودکسترنین بیشتر از نمونه‌های تولید شده با صمغ عربی گزارش شد [۳۳]. در تحقیق دیگری، وانگ و ژو [۳۴]، اثر سلولز، مالتودکسترنین، نشاسته مومی و مخلوط آن‌ها را بر حلالیت پودرهای سس سویا خشک شده به روش پاششی بررسی کردند. نتایج حاکی از بیشترین میزان حلالیت $97/9$ درصد) پودرهای تولید شده با مالتودکسترنین بود که پس از افزودن نشاسته مومی و یا میکروکریستال‌های سلولز، حلالیت به حدود ۸۰٪ کاهش یافت.

مالتودکستربین و صمغ عربی به عنوان حامل در غلظت‌های ۱۰، ۲۰ و ۳۰ گرم در ۱۰۰ گرم محلول خوارک استفاده شد. مقدار جاذب‌الرطوبتی پودرهای ریزپوشانی شده با مالتودکستربین و صمغ عربی به ترتیب از ۴۰/۹٪ به ۱۵/۹٪ و ۲۱/۲٪ کاهش یافت.

مالتودکستربین و بتا‌سیکلودکستربین به ترتیب از ۶۴/۳٪ به ۴۳/۰٪ و ۳۶/۹٪ کاهش یافت. نتایج مشابهی دیگری توسط کوروزاوا و همکاران [۲۸] پس از ارزیابی جاذب‌الرطوبتی پروتئین هیدرولیزشده گوشت جوجه پس از ریزپوشانی با خشک کردن پاششی گزارش شد. بدین شکل که از

Table 2 Effect of carrier type and combination on the solubility and hygroscopicity properties of spray-dried casein hydrolysates

Enzymatic hydrolyzed	Carrier type	Solubility (%)	Hygroscopicity (%)	
			Un-encapsulated	Spray-dried
Pancreatin 120	MD	97.28±1.07a	32.13±1.42a	
	MD-GA	93.02±1.16bc	39.01±1.51a	27.09±1.24bc
	GA	89.86±1.54d		26.33±0.71c
Alcalase 120	MD	97.07±0.74a		29.45±1.79b
	MD-GA	93.73±0.41b	34.73±0.58b	26.37±0.88c
	GA	90.52±0.55cd		25.21±0.48c

Different lowercase in the same column indicate statistical significant differences ($P < 0.05$).

فعالیت آنتی‌اکسیدانی هیدرولیزشده‌های کازئین در شرایط استفاده از مالتودکستربین حفظ شدند [۱۴]. نتایج حاصل از اثر فرآیند خشک کردن پاششی و نوع حامل‌های مورد استفاده بر فعالیت مهار رادیکال DPPH نیز حاکی از حفظ مقدار این شاخص در نمونه‌های ریزپوشانی شده با ترکیب مالتودکستربین و صمغ عربی بود (شکل ۱، a). در بین دو نوع هیدرولیزشده نیز، نمونه هیدرولیزشده با آلکالاز از فعالیت بالاتری نسبت به پانکراتین برخوردار بود ($P < 0.05$). علت را می‌توان به رهایش بیشتر پیتیدها و آمینواسیدهای هیدروفوب در اثر عمل آلکالاز نسبت به پانکراتین نسبت داد. از آنجائی‌که واکنش پیتیدها و آمینواسیدهای هیدروفوب با رادیکال لیپوفیل DPPH با سرعت بیشتری انجام می‌پذیرد، لذا این ترکیبات از قابلیت بالاتری در مهار این رادیکال در مقایسه با انواع هیدروفیل برخوردارند. با توجه به این‌که تفاوت کاملاً از لحاظ نوع حلالیت بین رادیکال‌های DPPH (محلول در چربی) و ABTS (محلول در آب) وجود دارد؛ لذا نوع ترکیب اسید‌آمینه‌ای بر مهار هر یک از این رادیکال‌ها موثر است. بنابراین علت این تغییرات را می‌توان به افزایش رهایش آمینواسیدهای هیدروفوب و کاهش دسترسی آنتی‌اکسیدان‌های هیدروفیل برای واکنش با رادیکال ABTS می‌گردد [۲۰]. در تحقیق مشابهی حدود ۹۱/۶٪-۷۷/۴٪ نسبت داد [۳۶].

۵-۳-۵- مهار رادیکال آزاد DPPH و ABTS

فعالیت ضد اکسایشی و قابلیت مهار رادیکال کاتیونی و محلول در آب ABTS نیز مانند سایر شاخص‌ها به نوع آنزیم پروتئاز، درجه هیدرولیز و ترکیب اسید‌آمینه‌ای پیتیدها وابسته است. شکل ۱ (a) اثر نوع و ترکیب حامل بر درصد مهار رادیکال آزاد ABTS در هیدرولیزشده‌های کازئینی حاصل از فعالیت آلکالاز و پانکراتین را نشان می‌دهد. پس از ریزپوشانی با مالتودکستربین، حدود ۸۲-۸۵٪ از فعالیت مهار رادیکال ABTS حفظ شد. اما استفاده ترکیبی از مالتودکستربین و صمغ عربی به عنوان حامل موجب حفظ ۹۲-۹۴٪ از این شاخص شد. در حالی‌که استفاده از صمغ عربی به تنها موجب کاهش شد. در حالی‌که استفاده از صمغ عربی به تنها موجب کاهش این شاخص گردید. در بین هیدرولیزشده‌های کازئینی، نمونه‌های حاصل از هیدرولیز با پانکراتین از مهار رادیکال ABTS بالاتری نسبت به آلکالاز برخوردارند. علت این تفاوت نیز به اختلاف در مکانیسم عمل این دو آنزیم بر رهایش اسیدهای آمینه که در تحقیقات مختلفی گزارش شده، وابسته است. بدین شکل که هیدرولیز آنزیمی با پانکراتین نسبت به آلکالاز منجر به رهایش بیشتر اسیدهای آمینه ABTS هیدروفیل و واکنش بیشتر با رادیکال محلول در آب می‌گردد [۲۰]. در تحقیق مشابهی حدود ۹۱/۶٪-۷۷/۴٪ می‌گردد [۳۶].

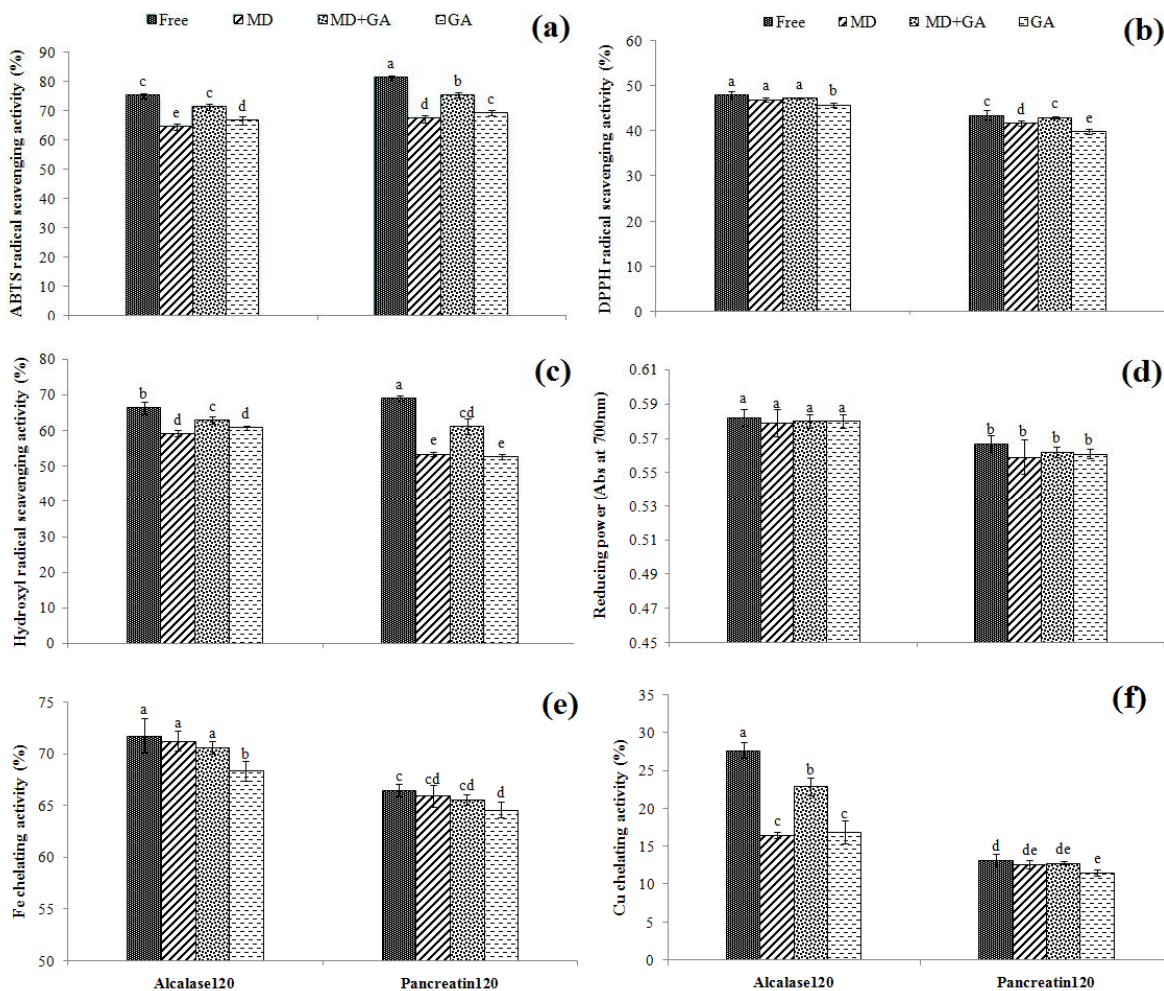


Fig 1 Effect of carrier type and combination on the (a) ABTS radical scavenging activity, (b) DPPH radical scavenging activity, (c) Hydroxyl radical scavenging activity, (d) Reducing power, (e) Fe^{2+} chelating activity and (f) Cu^{2+} chelating activity before and after the spray-drying process.

یافته را می‌توان به اثر صمغ عربی در ایجاد فیلم در اطراف ذرات و نقش مالتودکسترین در ایجاد ماتریس درونی ساختار ذرات نسبت داد که موجب بهبود عملکرد هر یک از این دو به تنهایی می‌شود. علت تفاوت فعالیت مهار رادیکال هیدروکسیل بین نمونه‌های حاصل از هیدرولیز با آلکالاز و پانکراتین را نیز می‌توان به تفاوت در توانایی پروتئین‌های هیدرولیز شده حاصل در جلوگیری از ایجاد تغییرات مخرب ناشی از اکسیداسیون لیپیدها بسته به ماهیت و ترکیب قسمت‌های مختلف پیشیدی، تحت تاثیر پروتئاز مورد استفاده نسبت داد [۶].

از سوی دیگر، اثر فرآیند ریزپوشانی و حامل‌های مورد استفاده بر قدرت احیاء‌کنندگی هیدرولیزشده‌ها نیز مورد بررسی فرار گرفت. این شاخص یکی از مهمترین ویژگی‌های آنتی‌اکسیدان-

۶-۳- مهار رادیکال هیدروکسیل و قدرت احیاء‌کنندگی

حذف رادیکال هیدروکسیل به دلیل قابلیت واکنش آن با مولکول‌های زیستی مانند آمینواسیدها، پروتئین‌ها و DNA موجب حفاظت بدن در برابر رادیکال هیدروکسیل می‌شود [۳۷]. شکل ۱، ۲، ۳ نشان‌دهنده اثر فرآیند خشک کردن پاششی با حامل‌های مالتودکسترین، صمغ عربی و ترکیب این دو بر درصد فعالیت مهار رادیکال هیدروکسیل در هیدرولیزشده‌های کازئین با آلکالاز و پانکراتین است. در بین حامل‌های مختلف، استفاده ترکیبی از مالتودکسترین و صمغ عربی موجب بالاترین درصد حفظ این شاخص (۹۵-۸۸٪) در هیدرولیزشده‌های کازئینی پس از فرآیند ریزپوشانی شد ($P < 0.05$). علت این

به تنهایی (حدود ۶٪) در نمونه‌های هیدرولیز شده با آلکالاز بود. در بین نمونه‌های هیدرولیز شده مورد بررسی در این تحقیق، هیدرولیز شده‌های با آلکالاز (۷۶٪) از شلاته‌کنندگی یون مس بسیار بالاتری نسبت به نمونه‌های حاصل از هیدرولیز پانکراتین (۲۱٪) برخوردار بودند ($P < 0.05$). مکانیسم عمل هیدرولیز شده‌ها در رابطه با این شاخص را می‌توان به این شکل بیان کرد که پیتیدهای مشتق شده از کازئین شیر با دارا بودن بخش‌های قطبی فسفوریله شده می‌توانند یون‌های کلسیم، آهن و مس را شلاته کنند. همچنین، مکانیسم اثر پیتیدهای حاصل از هیدرولیز آنزیمی در شلاته‌کنندگی یون مس را می‌توان به افزایش گروه‌های آزاد کربوکسیل، آمینواسیدهای موثر مانند هیستیدین با دارا بودن حلقه ایمیدازول و واکنش‌های یونی نسبت داد [۴۱].

۳-۸- ریزاساختار و میانگین اندازه ذرات

استفاده از میکروسکوپ الکترونی رویشی یکی از راه‌های ارزیابی تغییرات ایجاد شده در ویژگی‌های ساختاری و سطحی ذرات قبل و پس از ریزپوشانی در شرایط و استفاده از حامل‌های مختلف است. شکل ۲ (a-c) اثر نوع و ترکیب حامل‌های مالتودکسترن و صمغ عربی بر ویژگی‌های ریزاساختار و مورفولوژی سطحی ذرات حاوی هیدرولیز شده‌های کازئینی خشک شده به روش پاششی را نشان می‌دهند. تصاویر میکروسکوپ الکترونی نشان دهنده وجود ذراتی در اندازه‌های مختلف، سطوح صاف و چروکیده، کروی یا نامنظم در پودرهای ریزپوشانی شده بودند. تولید ذرات با سطوح چروکیده و نامنظم، یک پدیده معمول در خشک کردن پاششی محصولات مختلف است که عمدهاً به دلیل تشکیل سریع پوسته بر سطح قطرات در مراحل اولیه خشک کردن رخ می‌دهد [۴۲]. شکل ۲، d نیز مربوط به نمونه‌های اولیه از هیدرولیز شده‌های خالص خشک شده به روش انجامدی نیز ساختاری لایه‌ای یا ورقه‌ای و شکسته با منافذ سطحی زیاد داشتند که حاکی از اثر نوع فرآیند بر ساختار ذرات تولید شده است. همچنین میانگین اندازه ذرات پودرهای خشک شده به روش پاششی در محدوده ۳۱-۶۵ میکرون بسته به نوع و ترکیب حامل متغیر بود (شکل ۳). بدین شکل که ذرات تولید شده با صمغ عربی از میانگین اندازه ذرات درشت‌تر برخوردار بودند. علت این تفاوت را می‌توان به افزایش بیشتر ویسکوزیته در خوارک‌های تولید شده با صمغ عربی نسبت به

ها، احیاء کمپلکس فری‌ساینید (Fe^{3+}) به شکل فروس (Fe^{2+}) است [۳۸]. نتایج حاصل از این آزمون حاکی از این بودند که قدرت احیاء‌کنندگی هیدرولیز شده‌های کازئینی یکی از باثبات‌ترین شاخص‌های آنتی‌اکسیدانی است [۱۴]. از این رو مقدار این شاخص تحت تاثیر فرآیند ریزپوشانی قرار نگرفت و همچنین تفاوتی هم بین حامل‌های مختلف مشاهده نشد (شکل ۱، d). علت اصلی قدرت احیاء‌کنندگی پروتئین‌های هیدرولیز شده را می‌توان به شکست زنجیره پیتیدی، افزایش رهایش آمینواسیدهای با فعالیت ضدآکسایشی (مانند تریپوفان، متیونین، لیزین، هیستیدین و تیروزین) و قابلیت مهار رادیکال‌های آزاد نسبت داد. علت تفاوت در قدرت احیاء‌کنندگی بین نمونه‌های حاصل از آلکالاز و پانکراتین نیز به تفاوت در ترکیب و محصولات حاصل از هیدرولیز وابسته است [۲۴].

۳-۷- شلاته‌کنندگی یون آهن و مس

آهن و دیگر فلزات بهدلیل تسريع در روند شکست هیدرولیز و کسیدهای لیپیدی به رادیکال‌های آلکوکسیل بسیار واکنش‌پذیر به عنوان پروکسیدان در بسیاری از سیستم‌های غذایی عمل می‌کنند [۳۹]. شلاته‌کنندگی یون آهن نیز در این تحقیق تحت تاثیر فرآیند ریزپوشانی قرار نگرفت. تنها استفاده از حامل صمغ عربی موجب کاهش این قابلیت در نمونه‌های ریزپوشانی شده شد (شکل ۱، e). به عنوان یکی از دلایل و مکانیسم‌های عملکرد هیدرولیز شده‌ها در مهار و شلاته کردن یون‌های آهن می‌توان به نقش گروه‌های کربوکسیل و آمینو اشاره کرد که به ترتیب در آمینواسیدهای اسیدی و بازی می‌توانند در حذف یون‌های آهن از سیستم نقش ایفا کنند [۴۰]. همچنین، در بین تیمارهای هیدرولیز شده، نمونه‌های حاصل از هیدرولیز آنزیمی با آلکالاز از فعالیت و قابلیت شلاته‌کنندگی بیشتری برخوردار بودند ($P < 0.05$). نتایج حاصل از تفاوت فعالیت شلاته‌کنندگی هیدرولیز شده‌های حاصل از آلکالاز و پانکراتین حاکی از این می‌باشند که قابلیت پروتئین‌های هیدرولیز شده حاصل از منابع مختلف در شلاته کردن یون آهن به نوع آنزیم به کار رفته، ماهیت پروتئین اولیه و درجه هیدرولیز آن بستگی دارد [۶]. نتایج حاصل ارزیابی فعالیت آنتی‌اکسیدانی و شلاته‌کنندگی یون مس در هیدرولیز شده‌های کازئینی نیز نشان دهنده اثر مثبت ترکیب مالتودکسترن و صمغ عربی در حفظ حدود ۸۳٪ از این شاخص نسبت به استفاده از مالتودکسترن و صمغ عربی

مشابهی برخوردار بودند. همچنین، در تحقیق مشابه انجام گرفته توسط مولینا اورتیز و همکاران [۴۳] که ریزپوشانی کازئین هیدرولیز شده با استفاده از ایزوله پروتئین سویا به روش پاششی انجام دادند، میکروکپسول های با توزیع اندازه ذرات متفاوت، دیواره یکنواخت، وجود منفذ در جداره مشاهده شدند. همچنین میانگین اندازه ذرات در این کپسول ها بین ۹/۱۸ تا ۱۱/۳۲ میکرون متغیر بود.

مالتدکسترن و در نهایت تولید قطرات درشت تر و ذرات خشک شده بزرگ تر نسبت داد [۱۶].

در تحقیق انجام شده توسط یانگ و همکاران [۷] میانگین اندازه ذرات پودرهای آب پنیر ریزپوشانی شده و آزاد بین ۲/۴۷ تا ۳/۲۶ میکرون متغیر بود. از آنجائی که فرآیند تولید پودر از آب پنیر هیدرولیز شده بدون استفاده از حامل به روش پاششی انجام گرفته بود، لذا ذرات تولید شده از ساختار نسبتاً

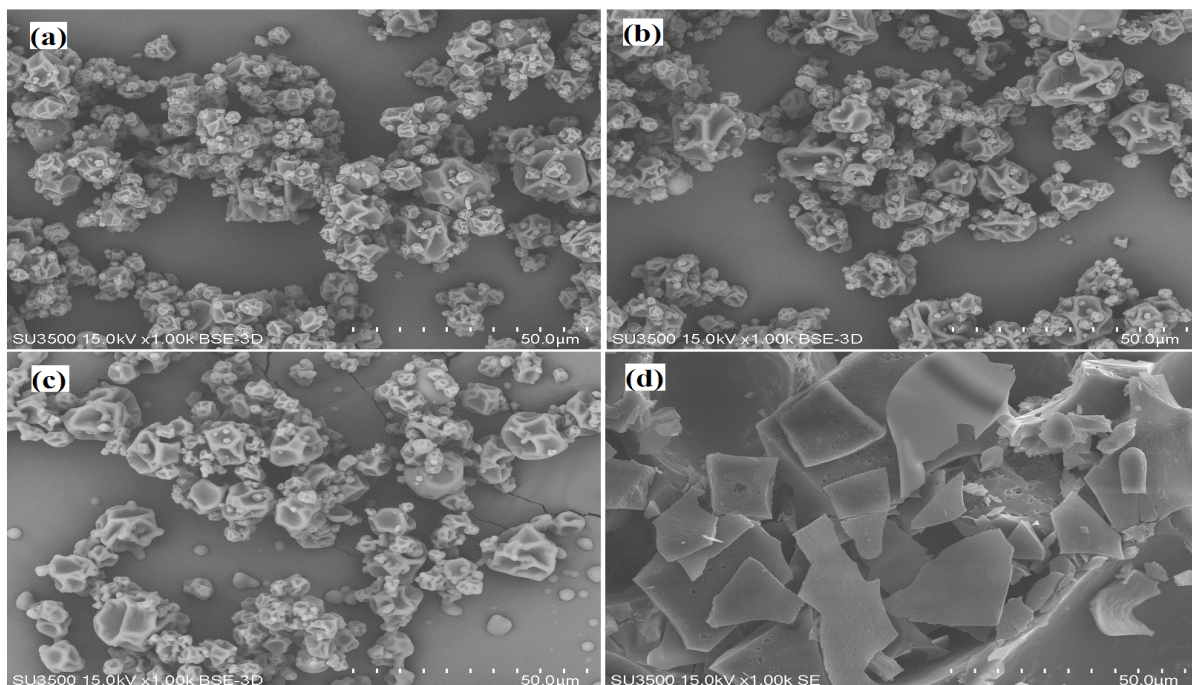


Fig 2 Effect of (a) Maltodextrin, (b) Maltodextrin +Gum Arabic, (c) Gum Arabic as carrier type, and (d) Freeze-drying process on the morphological properties of casein hydrolysates.

۴- نتیجه‌گیری کلی

با توجه به اهمیت و تاثیر ترکیبات دیواره و حامل های مورد استفاده بر ویژگی های اقتصادی مانند بازده تولید، شاخص های فیزیکی شیمیایی، عملکردی، ریزساختار و حفظ ویژگی های کیفی در انواع محصولات خشک شده به روش پاششی و ترکیبات زیست فعال ریزپوشانی شده، لذا در این مطالعه اثر مجزا و ترکیبی دو حامل پرکاربرد مالتودکسترن و صمغ عربی مورد ارزیابی قرار گرفت. نتایج حاصل از این پژوهش حاکی از اثربخشی هر یک از این حامل ها و همچنین استفاده ترکیبی از آن ها بر ویژگی های فیزیکی به ویژه حلalیت و جاذبه الرطوبه بودن پودرهای حاوی هیدرولیز شده های کازئین بود. همچنین، اثر ترکیبی از این دو حامل تاثیر بهتری در حفظ فعالیت آنتی اکسیدانی هیدرولیز شده در طول فرآیند خشک

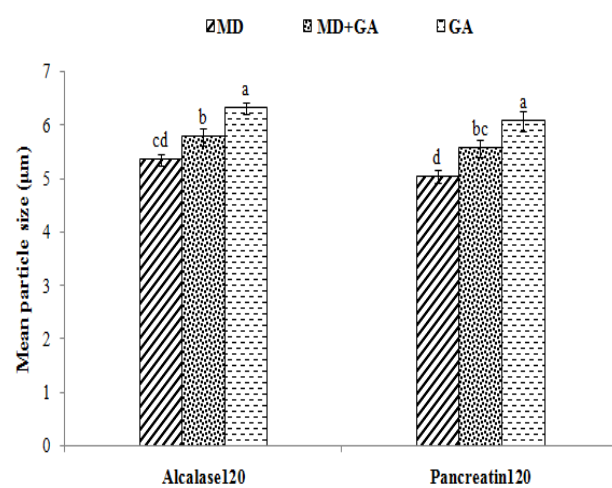


Fig 3 Effect of carrier type and combination on the mean particle size of the spray-dried casein hydrolysates.

- nanovesicles,” *LWT-Food Sci. Technol.*, vol. 87, pp. 40–46, 2018.
- [9] S. M. Jafari, E. Assadpoor, Y. He, and B. Bhandari, “Encapsulation efficiency of food flavours and oils during spray drying,” *Dry. Technol.*, vol. 26, no. 7, pp. 816–835, 2008.
- [10] J.-J. Ma, X.-Y. Mao, Q. Wang, S. Yang, D. Zhang, S.-W. Chen, and Y.-H. Li, “Effect of spray drying and freeze drying on the immunomodulatory activity, bitter taste and hygroscopicity of hydrolysate derived from whey protein concentrate,” *LWT-Food Sci. Technol.*, vol. 56, no. 2, pp. 296–302, 2014.
- [11] C. S. Favaro-Trindade, A. S. Santana, E. S. Monterrey-Quintero, M. A. Trindade, and F. M. Netto, “The use of spray drying technology to reduce bitter taste of casein hydrolysate,” *Food Hydrocoll.*, vol. 24, no. 4, pp. 336–340, 2010.
- [12] S. E. M. Ortiz, A. Mauri, E. S. Monterrey-Quintero, M. A. Trindade, A. S. Santana, and C. S. Favaro-Trindade, “Production and properties of casein hydrolysate microencapsulated by spray drying with soybean protein isolate,” *LWT-Food Sci. Technol.*, vol. 42, no. 5, pp. 919–923, 2009.
- [13] L. E. Kurozawa, K. J. Park, and M. D. Hubinger, “Effect of maltodextrin and gum arabic on water sorption and glass transition temperature of spray dried chicken meat hydrolysate protein,” *J. Food Eng.*, vol. 91, no. 2, pp. 287–296, 2009.
- [14] K. Sarabandi, A. Sadeghi Mahoonak, H. Hamishekar, M. Ghorbani, and M. Jafari, “Microencapsulation of casein hydrolysates: Physicochemical, antioxidant and microstructure properties,” *J. Food Eng.*, vol. 237, pp. 86–95, 2018.
- [15] D. A. Botrel, R. V. de Barros Fernandes, S. V. Borges, and M. I. Yoshida, “Influence of wall matrix systems on the properties of spray-dried microparticles containing fish oil,” *Food Res. Int.*, vol. 62, pp. 344–352, 2014.
- [16] K. Sarabandi, S. H. Peighambarioust, A. S. Mahoonak, and S. P. Samaei, “Effect of carrier types and compositions on the production yield, microstructure and physical characteristics of spray dried sour cherry juice concentrate,” *J. Food Meas. Charact.*, pp. 1–11, 2017.
- [17] A. M. Goula and K. G. Adamopoulos, “A new technique for spray drying orange juice concentrate,” *Innov. Food Sci. Emerg.*
- کردن پاششی نشان داد. ارزیابی تصاویر میکروسکوپ الکترونی نشان داد که ریزساختار و میانگین اندازه ذرات نمونه‌ها نیز تحت تاثیر نوع و ترکیب حامل‌های مورد استفاده قرار گرفتند. در نهایت با در نظر گرفتن نتایج این پژوهش می‌توان ریزپوشانی هیدرولیزشده‌های کازئین به روش خشک کردن پاششی با ترکیبی از مالتودکستربین و صمغ عربی را روشی مناسب و کارآمد در حفظ ویژگی‌های فیزیکی شیمیایی، پایداری در طول نگهداری و فعالیت آنتی‌اکسیدانی دانست.

۵- منابع

- [1] E. A. M. Deckere and P. M. Verschuren, “Functional fats and spreads,” *Funct. Foods. Concept to Prod. Ed. GR Gibson C. Williams (eds.). Woodhead Publ. Limited. Cambridge, Engl.*, pp. 233–251, 2000.
- [2] L. Chen, G. E. Remondetto, and M. Subirade, “Food protein-based materials as nutraceutical delivery systems,” *Trends Food Sci. Technol.*, vol. 17, no. 5, pp. 272–283, 2006.
- [3] B. H. Sarmadi and A. Ismail, “Antioxidative peptides from food proteins: a review,” *Peptides*, vol. 31, no. 10, pp. 1949–1956, 2010.
- [4] Z. Xie, J. Huang, X. Xu, and Z. Jin, “Antioxidant activity of peptides isolated from alfalfa leaf protein hydrolysate,” *Food Chem.*, vol. 111, no. 2, pp. 370–376, 2008.
- [5] R. López-Fandiño, J. Otte, and J. Van Camp, “Physiological, chemical and technological aspects of milk-protein-derived peptides with antihypertensive and ACE-inhibitory activity,” *Int. Dairy J.*, vol. 16, no. 11, pp. 1277–1293, 2006.
- [6] A. Pihlanto, “Antioxidative peptides derived from milk proteins,” *Int. Dairy J.*, vol. 16, no. 11, pp. 1306–1314, 2006.
- [7] S. Yang, X.-Y. Mao, F.-F. Li, D. Zhang, X.-J. Leng, F.-Z. Ren, and G.-X. Teng, “The improving effect of spray-drying encapsulation process on the bitter taste and stability of whey protein hydrolysate,” *Eur. Food Res. Technol.*, vol. 235, no. 1, pp. 91–97, 2012.
- [8] A. Mohan, S. R. C. K. Rajendran, J. Thibodeau, L. Bazinet, and C. C. Udenigwe, “Liposome encapsulation of anionic and cationic whey peptides: Influence of peptide net charge on properties of the

- Food Sci. Technol.*, vol. 52, no. 1, pp. 31–38, 2013.
- [28] L. E. Kurozawa, K. J. Park, and M. D. Hubinger, “Effect of carrier agents on the physicochemical properties of a spray dried chicken meat protein hydrolysate,” *J. Food Eng.*, vol. 94, no. 3–4, pp. 326–333, 2009.
- [29] B. Bazaria and P. Kumar, “Effect of whey protein concentrate as drying aid and drying parameters on physicochemical and functional properties of spray dried beetroot juice concentrate,” *Food Biosci.*, vol. 14, pp. 21–27, 2016.
- [30] V. Truong, B. R. Bhandari, and T. Howes, “Optimization of co-current spray drying process of sugar-rich foods. Part I—Moisture and glass transition temperature profile during drying,” *J. Food Eng.*, vol. 71, no. 1, pp. 55–65, 2005.
- [31] M. Jayasundera, B. Adhikari, T. Howes, and P. Aldred, “Surface protein coverage and its implications on spray-drying of model sugar-rich foods: solubility, powder production and characterisation,” *Food Chem.*, vol. 128, no. 4, pp. 1003–1016, 2011.
- [32] B. R. Bhandari, K. C. Patel, and X. D. Chen, “Spray drying of food materials—process and product characteristics,” *Dry. Technol. food Process.*, vol. 4, pp. 113–157, 2008.
- [33] H. S. Nadeem, M. Torun, and F. Özdemir, “Spray drying of the mountain tea (*Sideritis stricta*) water extract by using different hydrocolloid carriers,” *LWT-Food Sci. Technol.*, vol. 44, no. 7, pp. 1626–1635, 2011.
- [34] W. Wang and W. Zhou, “Characterisation of spray dried soy sauce powders made by adding crystalline carbohydrates to drying carrier,” *Food Chem.*, vol. 168, pp. 417–422, 2015.
- [35] K. Sarabandi, S. H. Peighambari, A. R. Sadeghi Mahoonak, and S. P. Samaei, “Effect of different carriers on microstructure and physical characteristics of spray dried apple juice concentrate,” *J. Food Sci. Technol.*, 2018.
- [36] L. You, M. Zhao, C. Cui, H. Zhao, and B. Yang, “Effect of degree of hydrolysis on the antioxidant activity of loach (*Misgurnus anguillicaudatus*) protein hydrolysates,” *Innov. food Sci. Emerg. Technol.*, vol. 10, no. 2, pp. 235–240, 2009.
- [37] F. Shahidi and Y. Zhong, “Measurement of antioxidant activity,” *J. Funct. Foods*, vol. *Technol.*, vol. 11, no. 2, pp. 342–351, 2010.
- [18] M. Cano-Chauca, P. C. Stringheta, A. M. Ramos, and J. Cal-Vidal, “Effect of the carriers on the microstructure of mango powder obtained by spray drying and its functional characterization,” *Innov. Food Sci. Emerg. Technol.*, vol. 6, no. 4, pp. 420–428, 2005.
- [19] Y. Z. Cai and H. Corke, “Production and Properties of Spray dried Amaranthus Betacyanin Pigments,” *J. Food Sci.*, vol. 65, no. 7, pp. 1248–1252, 2000.
- [20] L. You, M. Zhao, J. M. Regenstein, and J. Ren, “Changes in the antioxidant activity of loach (*Misgurnus anguillicaudatus*) protein hydrolysates during a simulated gastrointestinal digestion,” *Food Chem.*, vol. 120, no. 3, pp. 810–816, 2010.
- [21] H.-C. Wu, H.-M. Chen, and C.-Y. Shiao, “Free amino acids and peptides as related to antioxidant properties in protein hydrolysates of mackerel (*Scomber austriasicus*),” *Food Res. Int.*, vol. 36, no. 9, pp. 949–957, 2003.
- [22] J. W. Kim and T. Minamikawa, “Hydroxyl radical-scavenging effects of spices and scavengers from brown mustard (*Brassica nigra*),” *Biosci. Biotechnol. Biochem.*, vol. 61, no. 1, pp. 118–123, 1997.
- [23] F. Ahmadi, M. Kadivar, and M. Shahedi, “Antioxidant activity of *Kelussia odoratissima* Mozaff. in model and food systems,” *Food Chem.*, vol. 105, no. 1, pp. 57–64, 2007.
- [24] S. N. Jamdar, V. Rajalakshmi, M. D. Pednekar, F. Juan, V. Yardi, and A. Sharma, “Influence of degree of hydrolysis on functional properties, antioxidant activity and ACE inhibitory activity of peanut protein hydrolysate,” *Food Chem.*, vol. 121, no. 1, pp. 178–184, 2010.
- [25] B. Kong and Y. L. Xiong, “Antioxidant activity of zein hydrolysates in a liposome system and the possible mode of action,” *J. Agric. Food Chem.*, vol. 54, no. 16, pp. 6059–6068, 2006.
- [26] S. Y. Quek, N. K. Chok, and P. Swedlund, “The physicochemical properties of spray-dried watermelon powders,” *Chem. Eng. Process. Process Intensif.*, vol. 46, no. 5, pp. 386–392, 2007.
- [27] H. Şahin-Nadeem, C. Dincer, M. Torun, A. Topuz, and F. Özdemir, “Influence of inlet air temperature and carrier material on the production of instant soluble sage (*Salvia fruticosa* Miller) by spray drying,” *LWT-*

- [41] L. Zhu, J. Chen, X. Tang, and Y. L. Xiong, "Reducing, radical scavenging, and chelation properties of in vitro digests of alcalase-treated zein hydrolysate," *J. Agric. Food Chem.*, vol. 56, no. 8, pp. 2714–2721, 2008.
- [42] W. Wang, Y. Jiang, and W. Zhou, "Characteristics of soy sauce powders spray-dried using dairy whey proteins and maltodextrins as drying aids," *J. Food Eng.*, vol. 119, no. 4, pp. 724–730, 2013.
- [43] D. V Mendenha, S. E. M. Ortiz, C. S. Favaro-Trindade, A. Mauri, E. S. Monterrey-Quintero, and M. Thomazini, "Microencapsulation of casein hydrolysate by complex coacervation with SPI/pectin," *Food Res. Int.*, vol. 42, no. 8, pp. 1099–1104, 2009.
- 18, pp. 757–781, 2015.
- [38] H. J. D. Dorman, A. Peltoketo, R. Hiltunen, and M. J. Tikkanen, "Characterisation of the antioxidant properties of de-odourised aqueous extracts from selected Lamiaceae herbs," *Food Chem.*, vol. 83, no. 2, pp. 255–262, 2003.
- [39] D. J. McClements and E. A. Decker, "Lipid oxidation in oil-in-water emulsions: Impact of molecular environment on chemical reactions in heterogeneous food systems," *J. Food Sci.*, vol. 65, no. 8, pp. 1270–1282, 2000.
- [40] Q. Liu, B. Kong, Y. L. Xiong, and X. Xia, "Antioxidant activity and functional properties of porcine plasma protein hydrolysate as influenced by the degree of hydrolysis," *Food Chem.*, vol. 118, no. 2, pp. 403–410, 2010.

Effect of maltodextrin and gum Arabic carriers on the physicochemical properties and antioxidant activity of spray-dried casein hydrolysates

Akbarbaglu, Z. ^{1*}, Kamali Shojaei, A. ², Sarabandi, Kh. ³

1. M.Sc. Department of Food Science and Technology, College of Agriculture, University of Tabriz, Tabriz, Iran.
2. M.Sc. Student, Department of Food Science and Technology, Faculty of Agriculture, Afagh Higher Education Institute, Urmia, Iran .
3. Ph.D, Faculty of Food Science & Technology, Gorgan University of Agricultural Sciences and Natural Resources, Gorgan, Iran.

(Received: 2019/07/28 Accepted: 2020/08/01)

In this research, enzymatic hydrolysis of casein was performed using alcalase and pancreatin enzymes under optimal conditions. Then, the effect of type and combination of maltodextrin and gum Arabic carriers on physicochemical properties (moisture content, water activity, bulk density, tapped density, solubility, hygroscopicity), maintaining antioxidant activity (ABTS, DPPH and hydroxyl radical scavenging activities, reducing power, Fe^{2+} and Cu^{2+} chelating activity), morphology and mean particle size of spray-dried casein hydrolysates was evaluated. The results showed that moisture content, water activity, bulk density, tapped density and solubility as equally were affected by type and combination of carrier ($P < 0.05$). The hygroscopicity value of casein hydrolysates decreased significantly after the microencapsulation process. The antioxidant activity of the hydrolysates varies depending on type of enzyme. For example, ABTS and hydroxyl radical scavenging activities of pancreatin hydrolysates were higher than alcalase types ($P < 0.05$). The combination of maltodextrin and gum Arabic showed the best effect in maintaining of ABTS radical scavenging activity (92.72-94.93%), DPPH (98.47-98.94%), hydroxyl radical scavenging activity (88.59-94.95%), reducing power (98.94-99.65%), Fe^{2+} chelating activity (98.38-98.61%) and Cu^{2+} chelating activity (82.86-98.12%). The images of the electron microscope showed the presence of particles with different size distribution and wrinkles. In addition, the samples produced with gum Arabic had a larger particle size than maltodextrin. Finally, the results of this study showed the effectiveness of spray-drying process on the production of microencapsulated hydrolysates with desired physical, stability and antioxidant properties.

Keywords: Spray-drying, Microencapsulation, Casein hydrolysates, Antioxidant activity.

* Corresponding Author E-Mail Address: zahra.akbarbaglu@yahoo.com